

高メチオニン含有大豆グリシニン cDNA の調製

CLONING OF cDNAs ENCODING SOYBEAN GLYCININ SUBUNITS
WITH HIGHER CONTENTS OF METHIONINE

内海 成・鬼頭 誠（京都大学食糧科学研究所）

Shigeru UTSUMI and Makoto KITO

Research Institute for Food Science, Kyoto University, Uji 611

ABSTRACT

The nucleotide sequences of cDNA encoding glycinin A_{1a}B_{1b} and A₂B_{1a} subunits, which are richer in methionine than other subunits, from var. Shirotsurunoko were determined and compared with those in the case of var. Bonminori. The comparison showed the differences in the nucleotide and amino acid sequences in coding regions of both cDNAs between cultivars. In addition, we observed the presence of an alternate cDNA encoding A_{1a}B_{1b} subunit in var. Shirotsurunoko. These results suggest the occurrence of polymorphism of glycinin subunit genes among cultivars and even within a single cultivar. We constructed artificial glycinin subunit cDNAs by interchanging the domains of methionine-rich subunits and inserting synthetic oligonucleotide with four methionine codons. In order to study the consequences of methionine enrichment to glycinin subunits on their ability to assemble and to exhibit functional properties, we have established the expression system of glycinin subunit cDNAs employing *Escherichia coli*. *Nutr. Sci. Soy Protein, Jpn.* 9, 5-9, 1988.

大豆たん白質栄養研究会で明らかにされてきたように、大豆たん白質は成人に対して制限アミノ酸を持たない¹⁾。しかし、他の植物たん白質との併用や、乳幼児を対象にする際、高含硫アミノ酸大豆たん白質が利用されることが望ましい。大豆たん白質はグリシニンとコングリシニンを主要成分としているが、グリシニンの方が栄養性で優れている²⁾。グリシニンのサブユニットはA₁B₁ タイプ (A_{1a}B_{1b}, A_{1b}B₂, A₂B_{1a}) と A₃B₄ タイプ (A₃B₄, A₅A₄B₃) に分類されるが、前者の方が、メチオニン含量が高い。そこで、前者のグループに属するサブユニットをコードする完全鎖長cDNA をクローニングして塩基配列を決定とともに、微生物における発現系の確立を計った。

実験方法

cDNA ライブライマーの調製

登熟中期の大穀種子（シロツルノコ）より、バナジ

ルリボヌクレオシドコンプレックスの存在下で RNA を抽出した。オリゴ d(T) セルロースカラムクロマトグラフィーにより、ポリ(A)RNA を調製し、ショ糖密度勾配遠心分離によりグリシニン mRNA-リッヂ画分を得た。この画分を鋳型として、Okayama-Berg 法³⁾に従って cDNA ライブライマーを調製した。

A_{1a}B_{1b} および A₂B_{1a}cDNA の同定

本研究に先立って、A₁B₁ タイプサブユニットをコードする不完全鎖長 cDNA(pGST8) を得ていた。pGST8 をプローブとして、A_{1a}B_{1b} をコードする cDNA(pGST4-2-3-5, 4-2-11-10) と A₂B_{1a} をコードする cDNA(pGST4-3-1-4) をスクリーニングした。

塩基配列分析

cDNA の塩基配列は M13 を用いるジデオキシ法⁴⁾で決定した。

発現プラスミド pKGA_{1a}B_{1b}Full, A₂B_{1a}Full の構築

pGST4-2-11-10, 4-3-1-4 より、cDNA 部を NcoI,

CTTAAACACTCATCAGTCATCACCATGGCCAAGCTAGTTTTCCCTTGCTTTCTGCTTTTCAGTGGCTGCTGCCTCGCT	ACAACTCAACATTCTCTCCATTGGTC	108
Met Ala Lys Leu Val Phe Ser Leu Cys Phe Leu Leu Phe Ser Gly Cys Cys Phe Ala		-1
* TTCAGTTCCAGAGAGCAGCCTCAGCAAACGAGTGGCAGATCCTAAACCGCTAACCGGATACCGTATAGAG	G	189
Phe Ser Ser Arg Glu Gln Pro Gln Gln Asn Glu Cys Gln Ile Gln Lys Leu Asn Ala Leu Lys Pro Asp Asn Arg Ile Glu	Gly	27
TCAGAAGGAGGGCTCATGGAGACATGGAACCTAACACAAGGCCATTCCAGTGTGCGCGGTGTTGCCCTCTCTCGCTGCACC	A	270
Ser Glu Gly Gly Leu Ile Glu Thr Trp Asn Pro Asn Asn Lys Pro Phe Gln Cys Ala Gly Val Ala Leu Ser Arg Cys Thr	Gly	54
CTCACCCCAACGCCCTCGTAGACCTTCTCACACCAACGGTCCCAGAAATCTACATCCAAACAGGTAAGGGTATTTT	-	351
Leu Asn Arg Asn Ala Leu Arg Arg Pro Ser Tyr Thr Asn Gly Pro Gln Glu Ile Tyr Ile Glu Gln Gly Lys Gly Ile Phe	Gly	81
GGCATGATATAACCGGGTTGCTAGCACATTGAGAGGCTCAACACCTCAACAAAAGAGGACAAAGCAGCACACAA	A	432
Gly Met Ile Tyr Pro Gly Cys Pro Ser Thr Phe Glu Glu Pro Gln Gln Pro Gln Arg Gly Gln Ser Ser Arg Pro Gln	Gly	108
GACCGTCACCAAGAGATCTAACCTCGAGAGGGTGTGATCGCATGCTACTGGTGTGATGCTGGATGTTACAC	C	513
Asp Arg His Gln Lys Ile Tyr Asn Phe Arg Glu Gly Asp Leu Ile Ala Val Pro Thr Gly Val Ala Trp Trp Met Tyr Asn	Gly	135
AATGAAGACACTCCCTGTTGGCTTCTATTATTGACACCAACAGCTTGGAGAACCGACTCGACCAGATGCCAGAGGAGA	Asn	594
Asn Glu Asp Thr Pro Val Val Ala Val Ser Ile Ile Asp Thr Asn Ser Leu Glu Asn Gln Leu Asp Gln Met Pro Arg Arg	Asn	162
TTCTATCTGCTGGGAAACCAAGAGCAAGAGTTCTAAAAATATCAGCAAGAGCAAGGAGGTCATCAAAGCCAGAAAGGAAAG	675	
Phe Tyr Leu Ala Gly Asn Gln Glu Gln Glu Phe Leu Lys Tyr Pro Gln Gln Glu Gln Gly His Gln Ser Gln Lys Gly Lys	189	
CATCAGCAAGAAGAAACGAAAGGGAGGCAGCATATTGAGTGGCTTCACCCCTGGAAATTCTTGACACATGCATTGCGCTG	His	756
His Gln Gln Glu Glu Asn Gln Glu Gly Ser Ile Leu Ser Gly Phe Thr Leu Glu Phe Leu Glu His Ala Phe Ser Val	Gly	216
GACAAGCAGATAGCGAAAACCTACAAGGAGAGAACGAAGGGAGAACAGGAGGACATTGTGACAGTGAAGAGGAGCTG	Asp	837
Asp Lys Gln Ile Ala Lys Asn Leu Gln Gly Glu Asn Glu Gly Glu Asp Lys Gly Alai Le Val Thr Val Lys Gly Gly Leu	Gly	243
AGCGTGATAAAACCCACCGAGCAGCACAAAGACCCCGAGGAAGGAGAAGAGGAGGACATTGTGACAGTGAAGAGGCCAG	Ser	918
Val Ile Lys Pro Pro Thr Asp Glu Gln Gln Arg Pro Gln Glu Ile Glu Glu Glu Glu Asp Glu Lys Pro Gln	Val	270
** TGCACCATGAGACTTGCACACATTGCCAGACTCATCACCTGACATCTACACCCCTCAAGCCGTAGCGTCACACC	Cys	999
Cys Lys Gly Lys Asp Lys His Cys Gln Arg Pro Arg Gly Ser Gln Ser Arg Arg Asn Gly Ile Asp Glu Thrile	Thr	297
TGCACCATGAGACTTGCACACATTGCCAGACTCATCACCTGACATCTACACCCCTCAAGCCGTAGCGTCACACC	Cys	1080
Cys Thr Met Arg Leu Arg His Asn Ile Gly Gln Thr Ser Ser Pro Asp Ile Tyr Asn Pro Gln Ala Gly Ser Val Thr Thr	Thr	324
GCCACCAGCCTTGACTTCCCAGCCCTCTCGTGGCTCAGACTCAGTGCTGACTTGGATCTCTCGCGAACATGCAATGTT	Ala	1161
Ala Thr Ser Leu Asp Phe Pro Leu Ser Trp Leu Arg Leu Ser Ala Gly Ser Gly Leu Arg Lys Asn Ala Met Phe	Gly	351
GTGCCACACTAACCTGACACCGAAGCATAATACGCATTGAAATGGACCGGGATTGATACAAGTGGTAATTGCAAC	Val	1242
Val Pro His Tyr Asn Leu Asn Ala Asn Ser Ile Ile Tyr Ala Leu Asn Gly Arg Ala Leu Ile Glu Val Val Asn Cys Asn	Ile	378
GGTGAGAGAGTGTGATGGAGAGCTGCAAGAGGGACGGGTGCTGATCGTGCACAAACTTGTGGTGGCTGCAAGATCA	Gly	1323
Gly Glu Arg Val Phe Asp Gly Glu Leu Gln Glu Gly Arg Val Leu Ile Val Pro Gln Asn Phe Val Val Ala Arg Ser	Gly	405
CAGAGTGACAACCTCGAGTATGTCATTCAAGACCAATGATACACCCATGATCGGCACTCTGCAGGGCAAAACTCATG	Gln	1404
Gln Ser Asp Asn Phe Glu Tyr Val Ser Phe Lys Thr Asn Asp Thr Pro Met Ile Gly Thr Leu Ala Gly Ala Asn Ser Leu	Ile	432
TTGAACGCATACCAAGAGAGTGATTTCAGCACACTTCAACCTAAAAAGCCAGCAGGGCAGGCAGATAAGAACACAA	Leu	1485
Leu Asn Ala Leu Pro Glu Glu Val Ile Glu His Thr Phe Asn Leu Lys Ser Gln Gln Ala Arg Gln Ile Lys Asn Asn Asn	Asn	459
CCTTCAAGTCTGGTTCCACCTCAGGAGTCTCAGAAGAGGAGCTGTGGCTTACAGCCCTTTTGATGTGCTACCCACT	Pro	1566
Pro Phe Lys Phe Leu Val Pro Pro Gln Glu Ser Gln Lys Arg Ala Val Ala	Leu	476
TTTGTCTTTGGCAATAGTGTAGCAACC <u>AT</u> <u>AA</u> <u>TA</u> <u>TA</u> <u>TA</u> <u>TA</u> <u>AT</u> <u>GA</u> <u>TA</u> <u>AG</u> <u>AA</u> <u>CA</u> <u>AG</u> <u>GG</u> <u>CT</u> <u>TT</u> <u>AG</u> <u>CT</u> <u>GG</u> <u>CC</u> <u>AA</u> <u>TT</u> <u>CC</u> <u>AC</u> <u>TC</u>	CC	1647
AATGAGTTTCTGTC-poly(A)	T	1728

Fig. 1. Nucleotide and deduced amino acid sequences of A_{1a}B_{1b} cDNA from var. Shirotsurunoko. Amino acid residues are numbered in the NH₂ to COOH direction starting with the NH₂-terminal residue of the mature acidic polypeptide. * and ** indicate the NH₂-terminal residues of the mature acidic and basic polypeptides, respectively. The AATAAA sequences in the 3'-untranslated region are underlined. Nonidentical codons between var. Shirotsurunoko and Bonminori were squared.

Table 1. Effects of amino acid replacements on side-chain properties of the residues and the secondary structure around the amino acid replacements

Residue No.	Amino acids		Hydropathy index**		Secondary structure	
	S. T.*	B. M.*	S. T.	B. M.	S. T.	B. M.
23	Asp	Gly	-3.5	-0.4	β -Turn	β -Turn
89	Pro	Ser	-1.6	-0.8	β -Turn	β -Turn
117	Phe	Ser	2.8	-0.8	Random	Random
341	Glu	Gly	-3.5	-0.4	α -Helix	β -Turn

* S. T. and B. M. refer to Shirotsurumoko and Bonminori, respectively.

** The index from (Kyte and Doolittle, 1982)

PvuIIで切り出し、発現ベクター pKK233-2⁶⁾のSD配列直後のNcoI部へ挿入することにより、シグナルペプチド部を含む発現プラスミド pKGA_{1a}B_{1b}Full, A₂B_{1a}Fullを構築した。

発現プラスミド pKGA_{1a}B_{1b}X の構築

A_{1a}B_{1b}cDNAのシグナルペプチド部をB_a13Iで段階的に除去し、発現ベクター pKK233-2 の修復NcoI部位に挿入して、発現プラスミド pKGA_{1a}B_{1b}Xを構築した。

結果と考察

高メチオニン含有グリシン cDNA の調製

本研究に先立って調製していたA₁B₁タイプの不完全鎖長cDNA(pGST8)をプローブとして、Okayama-Berg法³⁾によって調製したcDNAライブラリーより、完全鎖長cDNAをA_{1a}B_{1b}cDNAについて2種、(pGST4-2-3-5, 4-2-11-10), A₂B_{1a}cDNAについて1種選別し、その塩基配列を決定した(Fig. 1)。pGST4-2-3-5と4-2-11-10の塩基配列は完全に一致した。既に報告されていたポンミノリ品種のもの^{6,7)}との比較は、品種による塩基配列、アミノ酸配列の差異、つまり多形性を示していた。A_{1a}B_{1b}cDNAにおいて、両品種で差異の見られる部位についてハイドロパシーアンデックス⁸⁾とChou-Fasman法⁹⁾によって予測さ

れる2次構造を比較した(Table 1)。部位によっては、両品種で全く異なった性質を示していた。このことはグリシンをたん白質工学的に改変することが可能であることを示唆している。

プローブに用いたpGST8の塩基配列は本cDNAがA_{1a}B_{1b}cDNAであり、B鎖全域とA鎖の一部をコードしていることを示していた。しかし、pGST4-2-3-5, 4-2-11-10とは3ヵ所で塩基配列、アミノ酸配列とも異なっていた。このことは多形性が同一品種の同一サブユニットにも見られることを示している。一方、本cDNAのB鎖は、メチオニンを1残基多くコードしていた。このcDNAを利用することにより、天然には存在しない高メチオニン含有cDNAを作り出した。さらに、メチオニンを連続して4残基コードする合成DNAを構造形成上あまり重要でないと考えられる部位¹⁰⁾に挿入することによっても、高メチオニン含有化cDNAを作り出した(Fig. 2)。

微生物での発現系の確立

高メチオニン含有化cDNAがコードする変異グリシンが、天然グリシンと同様の構造形成をするのか？本来持っている機能特性が損なわれていないか？を明確にする必要がある。そのためには、微生物での大量発現系を確立する必要がある。

A_{1a}B_{1b}, A₂B_{1a}cDNAでも、シグナルペプチドを持

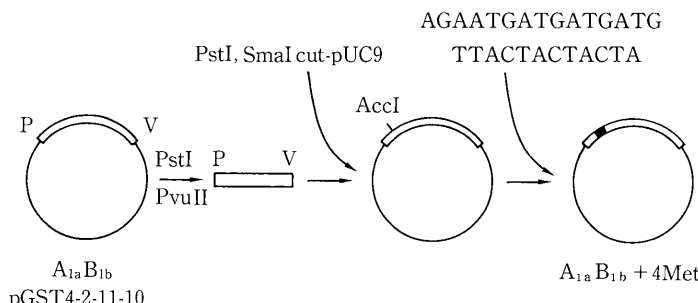


Fig. 2. Insertion of oligonucleotide with four methionine codons into A_{1a}B_{1b} cDNA. cDNA region of pGST4-2-11-10 was cut out by PstI and PvuII and then inserted into pUC9 cut by PstI and SmaI. Then, an oligonucleotide with four methionine codons was inserted into AccI site of A_{1a}B_{1b} cDNA.

つプレプロ型では、各種大腸菌で種々の条件下で発現を検出できなかった。そこで、シグナルペプチド部を段階的に欠失させた発現プラスミド pKGA_{1a}B_{1b}X を構築した (Fig. 3)。その結果、シグナルペプチド部を 5 残基以上含むものでは発現を検出できなかったが、3 残基以下含むもの、および N 末端部を部分的に欠失したものでは発現が検出された (Table 2)。また、抗体カラムで精製した各発現たん白質の N 末端アミノ酸配列は、各 cDNA から推測されるものと一致した。すなわち、大豆グリシンを大腸菌で発現させる系を確立できた。

この系を使って、高メチオニン含有化グリシンの構造形成能および機能特性発現能を解析していく計画である。

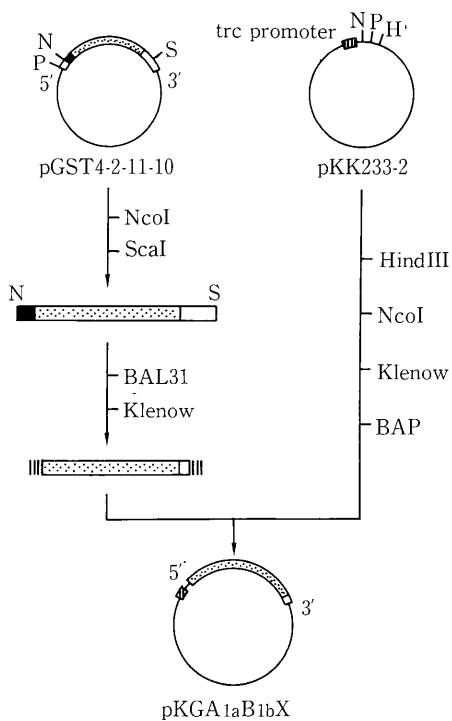


Fig. 3. Stepwise deletion of the signal sequence and N-terminal region of the cDNA encoding glycinin A_{1a}B_{1b} subunit precursor and construction of expression plasmids. NcoI-ScaI fragments of A_{1a}B_{1b} cDNA were digested with Bal31 and treated with DNA polymerase (Klenow Fragment) in the presence of all four deoxynucleotides in order to flush off possible overhanging ends. The resultant fragments were inserted into the filled-in NcoI and HindIII sites of pKK233-2.

Table 2. Production of A_{1a}B_{1b} protein in JM105 cells harboring individual expression plasmids

Plasmids	Expressed protein
	mg/l
pKGA _{1a} B _{1b} Full	N. D.
5	N. D.
3	0.1–0.2
1	0.5–1.0
– 1	0.5–1.0
– 3	5.8–9.3
– 4	0.5–1.0
– 11	2.1–3.2

N. D.: not detectable

文 献

- World Health Organization Technical Report Series 724 (1985) : Factors affecting energy and protein requirements in "Energy and Protein Requirements", report of Joint FAO/WHO/UNU Expert Consultation. pp. 113–130.
- Pernollet, J. C. and Mossé, J. (1983) : Structure and location of legume and cereal seed storage proteins, in "Seed Proteins", ed. by Daussant, J., Mossé, J. and Vaughan, J., Academic Press, London, pp. 155–191.
- Okayama, H. and Berg, D. (1982) : High-efficiency cloning of full-length cDNA. *Mol. Cell. Biol.*, **2**, 161–170.
- Sanger, F., Nickler, S. and Coulson, A. R. (1977) : DNA sequencing with chain-terminating inhibitors. *Proc. Natl. Acad. Sci. USA*, **74**, 5463–5467.
- Amann, E. and Brosius J. (1985) : "ATG vectors" for regulated high-level expression of cloned genes in *Escherichia coli*. *Gene*, **40**, 183–190.
- Negoro, T., Momma T. and Fukazawa C. (1985) : A cDNA clone encoding a glycinin A_{1a} subunit precursor of soybean. *Nucleic Acids Res.*, **13**, 6719–6731.
- Momma, T., Negoro, T., Ueda, K. and Fukazawa, C. (1985) : A complete cDNA coding for the sequence of glycinin A₂B_{1a} subunit precursor. *FEBS LETTERS*, **188**, 117–122.
- Kyte, J. and Doolittle, R. F. (1982) : Simple

- method for displaying the hydropathic character of a protein. *J. Mol. Biol.*, **157**, 105-132.
- 9) Chou, P. Y. and Fasman, G. D. (1974) : Conformational parameters for amino acids in helical, β -sheet, and random coil regions calculated from proteins. *Biochemistry*, **13**, 211-222.
- 10) Chou, P. Y. and Fasman, G. D. (1974) : Prediction of protein conformation. *Biochemistry*, **13**, 222-245.
- 11) Argos, P., Narayana, S. V. L. and Nielsen, N. C. (1985) : Structural similarity between legumin and vicilin storage proteins from legumes. *EMBO*, **4**, 1111-1117.